

رَبِّ الْمُحْمَدِ

دانشگاه یزد

دانشکده فیزیک

پایان نامه

برای دریافت درجه کارشناسی ارشد

فیزیک اتمی و مولکولی

انتشار جفت سالیتون‌های فتوولتاویک در مواد نورشکستی دوفوتونی تحت شرایط مدار باز

استاد راهنما: دکتر محسن حاتمی

استاد مشاور: دکتر محمد کاظم توسلی

پژوهش و نگارش: لیلا صدرالساداتی

۱۳۸۸

تقدیم به :

پدر و مادرم

که همواره شمع وجودشان چراغ هدایتی در
مسیر پرتلاطم زندگی است.

همسرم

که در تمام این مدت صبورانه مرا همراهی
نمود.

تشکر و قدردانی :

با تقدیم احترام و تقدير فراوان از استاد
محترم راهنمای جناب آقای دکتر محسن حاتمی و
استاد محترم مشاور جناب آقای دکتر محمد کاظم
توسلی به جهت راهنمایی و تلاشی که به
منظور به ثمر رساندن این اثر مبذول
داشتند.

چکیده:

مطالعه پدیده‌های غیرخطی در مواد نورشکستی سابقه‌ای طولانی دارد. ویژگی‌های غیرخطی مواد نورشکستی باعث تشکیل سالیتون‌های فضایی در موجبرهای کریستال‌های نورشکستی می‌شود. از میان انواع سالیتون‌های فضایی نورشکستی، ما سالیتون‌های نورشکستی فوتولوئیک را انتخاب و انتشار آن‌ها را در این مواد تحت مدل دوفوتونی بررسی کرده‌ایم. در این پایان نامه ابتدا مبانی انتشار موج را در موجبرهای مختلف تخت و استوانه‌ای بدون در نظر گرفتن اثر غیرخطی مورد بررسی قرار داده‌ایم و سپس اثر الکترواپتیکی خطی را در مواد ناهمسانگرد بیان و در پی آن اثر نورشکستی را در این مواد بررسی کردیم. در ادامه گذر کوتاهی نیز بر معادلات حاکم بر مواد نورشکستی بر پایه دو مدل تک‌فوتونی و دوفوتونی داشتیم. سپس به بیان تاریخچه‌ای از سالیتون‌های نوری پرداختیم و در ادامه وجود جفت سالیتون‌های فوتولوئیک خاص را در مواد نورشکستی دوفوتونی به کمک روش رانگ-کوتا نشان داده‌ایم. در قدم بعد شبیه‌سازی انتشار پرتوهای شبیه‌سازی روشن-روشن، روشن-تاریک و تاریک-تاریک را در موجبر تخت مورد بررسی قرار دادیم. در این شبیه‌سازی از روش تفاضلی به علاوه روش کرانک-نیکلسون بهره گرفته شده است. همچنین برای حل شرایط مرزی از روش رانگ-کوتا استفاده شده است. در این شبیه‌سازی با ثابت فرض کردن دیگر پارامترها و تنها با تغییر دامنه‌های ورودی توانستیم نتایج قابل قبولی را به دست آوریم که از آن جمله می‌توان به یافتن دامنه‌های بحرانی جهت طراحی کلیدهای راهیاب اشاره کرد. در نهایت برای بررسی امکان کلید زنی نوری در مواد نورشکستی، از آرایش مزدوج موازی بهره گرفتیم و با شبیه‌سازی انتشار پرتو در این دو موجبر با همان روش پیشین نحوه تبادل انرژی و انتشار پرتوها بین دو موجبر تخت موازی با تغییر دامنه‌های ورودی در این موجبرها مورد بررسی قرار داده‌ایم.

فهرست مطالب

عنوان	صفحه
مقدمه:	۱
فصل اول: موجبرهای اپتیکی	۳
۱-۱ مقدمه	۴
۱-۱-۱ پاشندگی	۶
۱-۱-۲ تضعیف	۶
۱-۲ انتشار در موجبر دیلکتریک تخت:	۸
۱-۲-۱ جوابهای نموداری معادلات ویژه مقداری	۱۰
۱-۲-۲ تعداد مدهای موجبری	۱۱
۱-۲-۳ توزع میدان	۱۳
۱-۳-۱ میدان داخلی	۱۳
۱-۳-۲ میدان خارجی	۱۴
۱-۴ سرعت گروه	۱۵
۱-۳ انتشار نور در موجبر دیلکتریک استوانهای	۱۶
۱-۳-۱ موجبرهای با ضریب شکست پلهای	۱۶
۱-۳-۱-۱ مدهای مغناطیسی عرضی (TM)	۱۹
۱-۳-۱-۲ جواب دقیق معادلات ویژه مقداری: طرح کلی	۲۳
۱-۳-۱-۳ تارهایی با هدایت کنندگی ضعیف- مدهای قطعی خطی (LP)	۲۴
۱-۳-۱-۴ شرایط قطع در موجبرهای قطعی خطی	۲۷
۱-۳-۲ فیرهای ضریب شکست تدریجی	۲۸

۲۹.....	۱-۲-۳-۱ امواج هدایت شده
۳۰	۱-۲-۳-۱ مدهای موجبری
۳۲	۱-۲-۳-۱ تعداد مدها
۳۴.....	نتیجه گھوی
۳۷.....	فصل دوم: اثر نور شکستی
۳۸.....	۱-۲ مقدمه
۳۸.....	۲-۲ اثر الکترواپتیک
۴۰	۱-۲-۲ اثر الکترواپتیکی در مواد ناهمسانگرد
۴۱.....	۲-۲-۲ اثرات پاکلز و کر
۴۳.....	۲-۲-۲ تقارن کریستال
۴۶.....	۲-۳ اثر نورشکستی
۴۸.....	۱-۳-۲ معادلات نورشکستی تکفوتویی بهوسیله مدل کوختارف
۵۰	۲-۳-۲ معادلات نورشکستی دوفوتویی بهوسیله مدل کاسترو-کاموس
۵۳.....	نتیجه گھوی
۵۵.....	فصل سوم: سالیتون-های فوتولتانیک در مواد نورشکستی دو فوتویی
۵۶.....	۱-۳ مقدمه
۵۸.....	۲-۳ سالیتونهای اپتیکی
۶۰	۳-۳ سالیتونهای اپتیکی فضایی
۶۴	۴-۳ معادلات انتشار جفت سالیتونی در مواد نورشکستی دوفوتویی
۶۷	۴-۳-۱ جفت سالیتون روشن-تاریک
۷۱	۴-۳-۲ جفت سالیتون روشن-روشن
۷۳	۴-۳-۳ جفت سالیتون تاریک-تاریک

۷۵	۳-۵ نتایج انتشار جفت سالیقونها
۷۹	۳-۵-۲ نتایج انتشار جفت سالیقون روشن-روشن
۸۵	۳-۵-۳ نتایج انتشار جفت سالیقون تاریک-تاریک
۸۹	فصل چهارم: شععه‌سازی کلیدهای تمام نوری در مواد نورشکستی دو فوتوری
۹۰	۴-۱ مقدمه
۹۱	۴-۲-۲ موجبری با آرایش موازی و نتایج شععه سازی کلید تمام نوری
۱۰۲	نتایجه گُوی
۱۰۳	نتایجه گُوی
۱۰۳	پیشنهادات
۱۰۵	پیوست الف:
۱۱۱	پیوست ب:
۱۲۰	مراجع

فهرست شکل‌ها

صفحه	عنوان
۵	شکل (۱-۱) : موجبرهای اپتیکی به ترتیب از سمت چپ: ۱) تخت ۲) کانالی ۳) فیبرنوری [۳].
۸	شکل (۲-۱) : مدل هندسی انتشار نور در موجبر دیلکتریک تخت [۳].
۱۰	شکل (۳-۱) : حل ترسیمی معادله وئه مقدار (۱-۶) [۳].
۱۱	شکل (۴-۱) : زوایی محدود θ_m و مؤلفهای k_z و k_y معادل آن با نقاط مشخص شده‌اند [۳].
۱۳	شکل (۱-۵) : تعداد مدهای TE به عنوان تابعی از بسامد [۳].
۱۶	شکل (۱-۶) : نمودار پاشندگی [۳].
۲۶	شکل (۱-۷) : حل ترسیمی معادله مشخصه (۱-۴۵) [۳].
۲۸	شکل (۱-۸) : انتشار نور در فیبر نوری با تغییر ضریب شکست تدریجی [۳].
۳۱	شکل (۱-۹) : واپستگی $n^2(r)$ و k_r^2 به r [۳].
۳۲	شکل (۱-۱۰) : ثابت‌های انتشار و محدوده مدهای فیبر [۳].
۴۱	شکل (۱-۱) : محورهای (x_1, x_2, x_3) محورهای اصلی بوده و ضرایب شکست n_1 ، n_2 و n_3 همان ضرایب شکست اصلی ماده می‌باشند. ضرایب شکست مدهای نرمال یک موج که در راستا k منتشر می‌شود برابر n_a و n_b است [۳].
۴۵	شکل (۲-۱) : تغییرات ضریب شکست عادی و غیرعادی کریستال $LiNbO_3$ را برای وقتی که میدان ایستای الکتریکی در راستای محور اپتیکی است نشان می‌دهد [۳].
۴۶	شکل (۲-۲) : توزیع حاملهای بار در مجموع نورشکستی [۵].
۴۷	شکل (۴-۲) : منشا اثر نورشکستی بر نمودارها ی توزیع شدت، بارفضا بی، می‌دان الکتریکی و تغییرات ضریب شکست بر حسب فاصله [۶].
۴۹	شکل (۵-۲) : ترازهای انرژی و جمعیت آنها [۶].

شکل (۶-۲) : ترازهای انرژی در مدل دوفوتوری [۷].

شکل (۳-۱): نمایش شمعی سازی خود به دام اندازی فضایی پرتو اپیتکی در محیط غیرخطی با عملکرد عدسیها. پراش شمعی به عدسی مقعر (تصوی دوم) و پاسخ غیرخطی محیط شمعی به عدسی محدب (تصوی اول) عمل میکند. سالیقون خود به دام افتاده در نتیجه تعادل عملکرد دو عدسی شکل میگیرد (تصوی سوم).

شکل (۳-۲): جفت سالیقون روشن-تاریک را برای شدت پرتو درجه ای $I_1 = 10^6 \text{ W/m}^2$ نشان می‌هد.

شکل (۳-۳): جفت سالیقون روشن-تاریک را برای شدت پرتو درجه ای $I_1 = 10^5 \text{ W/m}^2$ به صورت خطی و $I_1 = 10^6 \text{ W/m}^2$ به صورت خط پر نشان می‌هد.

شکل (۴-۳): جفت سالیقون روشن-روشن برای $r = 10$ و $\theta = 30^\circ$.

شکل (۵-۳): جفت سالیقون تاریک-تاریک را برای $r = 10$ و $\theta = 30^\circ$.

شکل (۶-۳): در دامنه $A = 0.01$ اثرات غیرخطی ظاهر نمیشوند.

شکل (۷-۳): در دامنه $A = 0.1$ اثرات غیرخطی جزئی در خروجی به وجود می آیند.

شکل (۸-۳): در دامنه $A = 0.2$ به خوبی اثرات غیرخطی را مشاهده میکنیم (شمی سازی کی راهیب تمام نوری).

شکل (۹-۳): نمودار انرژی برای جفت سالیقون روشن-تاریک در دامنه $A = 0.2$.

شکل (۱۰-۳): در دامنه $A = 0.6$ اثرات غیرخطی بشدت ظاهر میشوند.

شکل (۱۱-۳): به ازای دامنه $A = 0.01$ اثرات غیرخطی ظاهر نمیشود.

شکل (۱۲-۳): به ازای دامنه $A = 0.1$ مشاهده میکنیم که اثرات غیرخطی باعث باری ک شدن پرتوهای ورودی شده است.

- شکل (۱۳-۳): به ازای مقدار دامنه $A = 0.2$ ، یک راهیب نوری خواهیم داشت. ۸۲
- شکل (۱۴-۳): نمودار انرژی به ازای دامنه $A = 0.2$. ۸۲
- شکل (۱۵-۳): برای دامنه $A = 0.8$ اثرات جذب و دفع سالئتورها بخوبی مشخص است. ۸۳
- شکل (۱۶-۳): نمودار انتشار افروزه‌های پاچار در دامنه $A = 1.4$. ۸۴
- شکل (۱۷-۳): نمودار انرژی برای دامنه $A = 1.4$ که در آن خط ممتد، مجموع انرژی دو سالئتون است. ۸۴
- شکل (۱۸-۳): در دامنه پرتو $A = 0.01$ اثرات غیرخطی ظاهر نمی‌شود. ۸۵
- شکل (۱۹-۳): شیوه‌سازی انتشار جفت سالئتون تاریک را در دامنه $A = 0.1$ نشان می‌دهد. ۸۶
- شکل (۲۰-۳): شیوه‌سازی انتشار جفت سالئتون تاریک-تاریک در دامنه. ۸۷
- شکل (۲۱-۳): نمودار انرژی دو پرتو ورودی، خط ممتد نشانگر مجموع انرژی‌های دو پرتو است. ۸۷
- شکل (۱-۴): موجبری با آرایش مزدوج موازی. در z_1 پرتو نور در موجبر یک است، در z_2 بعنه دو موجبر تقسیم شده است و در z_3 در موجبر دوم است [۳]. ۹۱
- شکل (۲-۴): انتقال متناوب توان بعنه دو موجبر ۱ و ۲ [۳۲]. ۹۴
- شکل (۳-۴): انتقال انرژی بعنه دو موجبر ۱ و ۲ در حالتی که دو موج با هم تطابق فاز دارند [۳]. ۹۴
- شکل (۴-۴): در این شکل انتشار موج سالئتوری U_1 را با دامنه $A_1 = 0.01$ در موجبر دوم و انتشار موج سالئتوری V_1 را با دامنه $A_2 = 0$ در موجبر اول نشان داده شده است. ۹۷
- شکل (۴-۵): در این شکل انتشار موج سالئتوری U_2 را با دامنه $A_3 = 0$ در موجبر اول و انتشار موج سالئتوری V_2 را با دامنه $A_4 = 0.01$ در موجبر دوم نشان داده شده است. ۹۸
- شکل (۶-۴): منحری تغییرات انرژی در طول انتشار به ازای $A_1 = A_4 = 0.01$ و $A_2 = A_3 = 0$ نقطه چین مربوط به U_1 ، علامت ستاره مربوط به V_1 ، خط چین مربوط به U_2 و علامت بعلاوه مربوط به V_2 می‌باشد. ۹۹

شكل (۷-۴): در این شکل انتشار موج سالیقوری U_1 و V_1 را با دامنه به ترتیب $A_1 = 0.01$ و

۱۰۰ در موجبر اول نشان داده شده است. $A_2 = 0$

شكل (۸-۴): در این شکل انتشار موج سالیقوری U_2 را با دامنه $A_3 = 0$ و انتشار موج سالیقوری

۱۰۱ در موجبر دوم نشان داده شده است. $A_4 = 0.14$ V_2

شكل (۹-۴): منحنی تغییرات انرژی در طول انتشار به ازای $A_1 = 0.01$ ، $A_2 = A_3 = 0$ و

$A_4 = 0.14$ ، نقطه چنین مربوط به U_1 ، علامت ستاره مربوط به V_1 ، خط چنین مربوط به U_2

۱۰۲ علامت بعلاوه مربوط به V_2 و خط توپر نشان دهنده مجموع تمام انرژیها میباشد.

مقدمه:

هدايت و کنترل نور توسط نور يك فن آوري در حال پيشرفت است که توجه محققان زيادي را در حوزه‌های علمی مختلف به خود جلب کرده است . يکی از نامزدهای هدايت نور توسط نو ر در سامانه‌های اپتيک جمعی، ساليتون های اپتيکي فضائي می باشند. شكل‌گيري اين ساليتون ها در مواد نورشكستي با خاصيت غيرخطي بالا و به کمک ليز رهای کم توان (در حد ميكرو وات) سبب شده است تا پيشگويي های نظری نظير تغيير مسیر يك پرتو در اثر برهم کنش و برخورد با پرتو دیگر در ايجاد کليدهای اپتيکي با ساختارهای مختلف در آزمایشگاه ها به واقعیت بپیوندد. تکامل سريع سامانه‌های ارتباطی اپتيکي پرسرعت و پردازش سیگنال های اپتيکي در صورتی به واقعیت تبدیل می‌شود که ردیفهای متعددی از گیتهای فوتونی و کليدهای اپتيکي تولید شوند و در يك مدار فشرده قرار گیرند . آنچه در بالا اشاره شد تنها بخش کوچکی از کاربردهای عملی است که می‌توان برای ساليتون های اپتيکي انتظار داشت . اين امر باعث شده است که از حدود چهار دهه پیش تا کنون توجه دانشمندان به اين زمينه جذاب از علم اپتيک معطوف شود . از ميان ساليتون - های نوري فضائي همان‌طور که در بالا اشاره شد، ساليتون های نورشكستي از مزيت های ويزه‌اي برخوردار هستند. باید توجه داشت که خود ساليتون های نورشكستي نيز شامل سه نوع مختلف می باشند که به ترتیب کشف عبارتند از، ساليتون های پوششی، ساليتون های فتوولتائیک و ساليتون - های پوششی فتوولتائیک . ساليتون پوششی هنگامی بوجود می آيد که يك اختلاف پتانسیل خارجي بر کريستال غير فتوولتائیک اعمال شود . برای تشکيل ساليتون فتوولتائیک، به يك کريستال نور شکستي که تحت بایاس خارجي نباشد، احتياج داريم . در اين حالت اثر فتوولتائیک به وسیله پرتو نوري که به کريستال تابيده می شود، يك جريان DC در محیط ايجاد می کند که منجر به تشکيل ساليتون فتوولتائیک می گردد. نوع سوم از ساليتون های نورشكستي، هنگامی تشكيل می‌شوند که يك ميدان خارجي را به دو سر يك کريستال فتوولتائیک اعمال کنيم به اين علت اين ساليتون های فتوولتائیک-پوششی ناميده اند در اينجا هم اثر ميدان خارجي و هم اثر فتوولتائیک باهم حضور دارند که اگر ميدان خارجي از ميدان فتوولتائیک خيلي

قوی‌تر باشد سالیتون‌های نوع سوم به سالیتون‌های پوششی تبدیل می‌شوند و اگر میدان خارجی حذف شود، سالیتون‌ها به نوع فتوولتائیک تبدیل خواهند شد البته در شرایطی که مدار بسته است. اما در میان سالیتون‌های فتوولتائیک نسبت به دو دسته دیگر امتیاز بالاتری دارند. زیرا این سالیتون‌ها به میدان خارجی وابسته نیستند. تاکنون بررسی‌های زیادی بر روی انتشار این سالیتون‌ها در مواد نورشکستی تحت مدل تک‌فوتونی صورت گرفته و ولی کمتر به مدل دوفوتونی توجه شده است. از این‌رو در این پایان نامه توجه خود را به نحوه تشکیل و انتشار سالیتون‌های نوری فضایی فتوولتائیک در مواد نورشکستی دوفوتونی معطوف کرده و در آخر امکان کلیدزنی نوری را در این مواد مورد بررسی قرار داده‌ایم.

فصل ۱

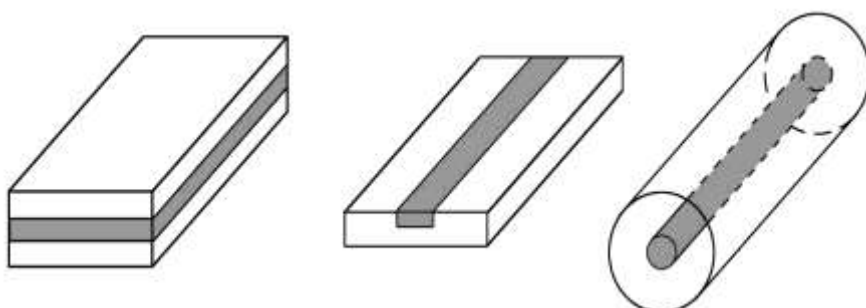
موجبرهای اپتیکی

۱-۱ مقدمه

تا چند دهه اخیر انتقال اطلاعات از طریق کابل های الکتریکی و یا انتقال امواج الکترومغناطیسی ریزموج و رادیویی در جو صورت می گرفت. تلفن‌ها، رادارها و گیرنده‌های رادیویی بر این اساس کار می‌کنند. نور مرئی، به عنوان یک موج الکترومغناطیسی می‌تواند حامل اطلاعات باشد. این امواج به دلیل داشتن طول موج کم و بسامد زیاد در نتیجه پهنه‌ای بیشتر نوار طیف، انتقال اطلاعات را با سرعت بیشتری انجام می‌دهند. اما جو در ناحیه طول موج مرئی به دلیل پراکندگی ناشی از ذرات معلق در آن از شفافیت خوبی برخوردار نیست. از این جهت انتقال امواج نور مرئی از طریق جو جز در فاصله‌های کم امکان پذیر نمی‌باشد. با ساخت فیبرهای نوری که پاشندگی و اتلاف در آن‌ها کم است انتقال اطلاعات از طریق امواج نور مرئی در فواصل دور هم امکان‌پذیر شد [۱]. امروزه فیبرهای نوری به طور گسترده‌ای برای انتقال اطلاعات در فواصل دور و شبکه‌های محلی (مانند کابل‌های تلویزیون) به کار می‌روند. در حال حاضر قاره‌ها هم از طریق شبکه‌های ارتباطی زیردریایی به هم متصل شده‌اند. از مزایای سامانه‌های فیبر نوری می‌توان ظرفیت بالای انتقال، میرایی کم اطلاعات، سبکی، اندازه کوچک و مصونیت از تداخل با امواج الکترومغناطیسی خارجی و آسانی نصب را نام برد [۱]. علاقه به ایجاد ارتباط از طریق نور مرئی اولین بار در سال ۱۹۶۰ با ساخت لیزر پدید آمد، اما اولین سامانه ارتباط فیبر نوری همراه با چشمۀ LED^۱ مورد استفاده قرار گرفت و هم اکنون

^۱ Ligth Emiting Diode

نیز بسیاری از سامانه‌های ارتباطی تجاری این‌گونه عمل می‌کنند. در اکثر سامانه‌های ارتباطی (چه سامانه‌های فیبر نوری چه سامانه‌های فضای آزاد در فواصل نزدیک) چشمۀ نوری لیزر با توان اپتیکی بالا، پهناهی بان د کم و همدوسي بالا از اهمیت بیشتری برخوردار است [۳]. یک سامانه ارتباطی فیبر نوری از سه قسمت چشمۀ نور، فیبر نوری و آشکارساز نوری تشکیل شده است. برای تکمیل عملکرد این سامانه قطعات نوری دیگری مانند اتصال دهنده‌ها^۱، جفت‌کننده‌ها^۲، سوئیچ‌ها^۳ و... لازم اند. در اپتیک مجتمع که قطعات مختلف بر روی یک تراشه^۴ قرار می‌گیرند، موجبرها به عنوان اتصال بین این قطعات به کار می‌روند. فیبرهای نوری، همین طور سوئیچ‌ها، مدولاتورها و کوپلرها در اپتیک مجتمع ساختار موجبری دارند. موجبر در اینجا به معنی ساختاری است که نور را در مسیری مخصوص هدایت می‌کند. این ساختارها همان طور که در شکل (۱-۱) نشان داده شده است به سه شکل تخت، کانالی و استوانه‌ای ساخته می‌شوند.



شکل (۱-۱) : موجبرهای اپتیکی به ترتیب از سمت چپ: ۱) تخت ۲) کانالی ۳) فیبرنوری [۳].

در ادامه به دو اثر مهم پاشندگی و تضعیف که در موجبرها با آن روبرو هستیم می‌پردازیم. این دو، عمل موجبرهای نوری را به عنوان کانال‌های انتقال دهنده اطلاعات محدود می‌کند و پاشندگی محدود کننده سرعت انتقال اطلاعات است [۴].

¹ connector

² coupler

³ switch

⁴ chip

۱-۱-۱ پاشندگی

پاشندگی در فیبرهای نوری با سرعت بیت و یا پهنانی باند سامانه‌های ارتباط فیبر نوری بستگی دارد. به دلیل پاشندگی، یک پرتو ورودی باریک بعد از انتشار پهن می‌شود. پاشندگی دلایل مختلفی دارد که از جمله می‌توان به موارد زیر اشاره کرد.

(۱) پاشندگی مدلی:^۱ وقتی که یک پرتو باریک وارد یک فیبر نوری چند مدلی می‌شود مدهای مختلفی را برانگیخته می‌کند. مدها ثابت‌های انتشار متفاوتی دارند و با سرعت‌های متفاوتی منتشر می‌شوند در نتیجه پرتو خروجی پهن می‌شود از آن جایی که این پاشندگی زیاد است و تنها در فیبرهای چند مدل وجود دارد فیبرهای چند مدل برای ارتباط راه دور کاربرد ندارند و در این موارد از فیبرهای تک مدل استفاده می‌شود.

(۲) پاشندگی ماده‌ای:^۲ از آن جایی که ضریب شکست تابعی از طول موج است طول موج‌های مختلف با سرعت‌های مختلفی منتشر می‌شوند و از آن جایی که هر منبع نوری طیف محدودی از پهنانی باند را شامل می‌شود حتی در مورد موجبرهای تک مدل نیز پاشندگی وجود دارد. به این منظور در ارتباطات راه دور از منبع نور با پهنانی طیف باریک استفاده می‌شود.

(۳) پاشندگی موجبری:^۳ پاشندگی موجبری از آن جایی ناشی می‌شود که ثابت انتشار β به پارامتر V وابسته است و V خود وابسته به طول موج λ است حتی وقتی که ضریب شکست به طول موج وابسته نباشد.

۲-۱-۱ تضعیف

نور بر اساس بازتاب کلی درون فیبر محدود و در آن منتقل می‌شود اما پراکندگی، جذب و میرایی تابشی باعث کاهش توان در فیبرهای نوری می‌شود. در ضمن انتشار توان نور به صورت تابع نمایی

¹ Modal Dispersion

² Material Dispersion

³ wave guides dispersion